

## ТЕРМОУПРУГИЕ СВОБОДНЫЕ КОЛЕБАНИЯ ТРЕХСЛОЙНОЙ КРУГОВОЙ ПЛАСТИНЫ

<sup>1</sup>Старовойтов Э. И., <sup>2</sup>Журавков М. А., <sup>1</sup>Яровая А. В.

<sup>1</sup>Белорусский государственный университет транспорта, Гомель

<sup>2</sup>Белорусский государственный университет, Минск

**Введение.** В связи с широким распространением композитных, в том числе трехслойных, элементов конструкций в технике и строительстве в последнее время значительное возрос спрос на разработку математических моделей и методов их расчета на различные виды и типы нагрузок.

Монографии [1–3] содержат различные математические модели статического и динамического деформирования многослойных и трехслойных элементов конструкций, включая стержни, пластины и оболочки. В них изложены методы решения соответствующих краевых задач. Гармонические и нестационарные динамические нагружения неоднородных цилиндрических и сферических оболочек исследованы в работах [4–7]. Изотермическое динамическое деформирование трехслойных круговых пластин при импульсных и резонансных непрерывных и локальных нагрузках рассмотрено в статьях [8–11]. Постановки и методики решения краевых задач об изотермическом квазистатическом деформировании, в том числе циклическом, упругопластических слоистых стержней и пластин приведены в [12–15]. Термосиловое нагружение трехслойных пластин и оболочек исследовалось в работах [16–18].

Здесь рассмотрена задача о колебаниях упругой круговой трехслойной пластины в температурном поле. Проведен численный параметрический анализ зависимости собственных чисел и частот колебаний защемленной по контуру пластины от температуры.

**1. Общее решение начально-краевой задачи.** Постановка начально-краевой задачи проводится в цилиндрической системе координат  $r, \varphi, z$ . Срединная плоскость заполнителя принимается за координатную, ось  $z$  направляется ей перпендикулярно вверх, к первому слою (рис. 1). Для тонких внешних несущих слоев толщиной  $h_1 \neq h_2$  принимаются гипотезы Кирхгофа, для толстого легкого заполнителя ( $h_3 = 2c$ ), воспринимающего нагрузку в тангенциальном направлении, справедлива гипотеза о прямолинейности и несжимаемости деформированной нормали.

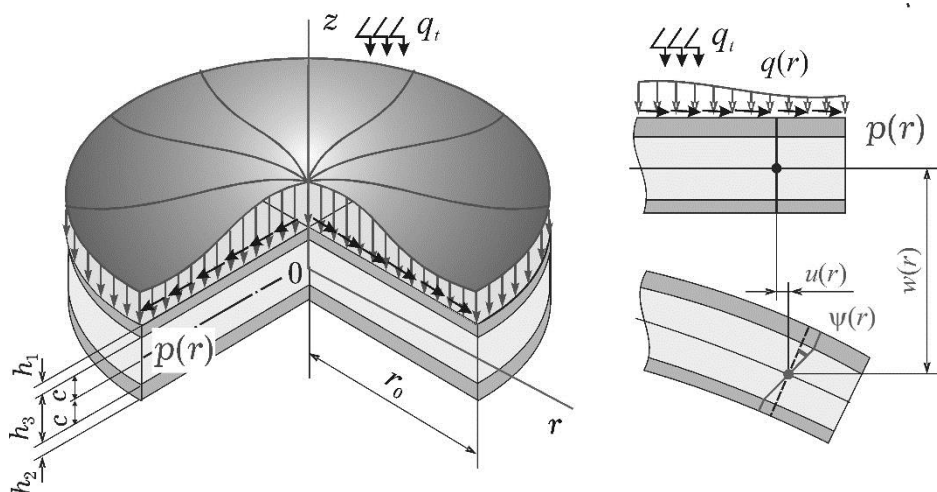


Рис. 1. Расчетная схема трехслойной пластины

Считаем, что к наружной поверхности первого несущего слоя приложены произвольные распределенные нагрузки  $q(r)$ ,  $p(r)$ , к контуру пластины – погонные усилия и моменты  $T_r^0$ ,  $H_r^0$ ,  $M_r^0$ ,  $Q^0$ . Температурное поле принимается однородным. В силу симметрии нагрузки тангенциальные перемещения в слоях отсутствуют:  $u_\varphi^{(k)} = 0$  ( $k = 1, 2, 3$  – номер слоя), а прогиб пластины  $w$ , относительный сдвиг в заполнителе  $\psi$  и радиальное перемещение координатной поверхности  $u$  не зависят от координаты  $\varphi$ . В дальнейшем эти функции считаем искомыми. На контуре пластины предполагается наличие жесткой диафрагмы, препятствующей относительному сдвигу слоев ( $\psi = 0$  при  $r = 1$ ). Все перемещения и линейные размеры пластины отнесены к ее радиусу  $r_0$ .

Из гипотезы прямолинейности нормали заполнителя следует, что

$$2\varepsilon_{rz}^{(3)} = u_r^{(3)}{}_{,z} + w_{,r} = \psi.$$

После интегрирования этого выражения с учетом принятых гипотез получим формулы, выражающие радиальные перемещения в слоях  $u_r^{(k)}$  через искомые функции:

$$\begin{aligned} u_r^{(1)} &= u + c\psi - zw_{,r}, & c \leq z \leq c + h_1, \\ u_r^{(3)} &= u + z\psi - zw_{,r}, & -c \leq z \leq c, \\ u_r^{(2)} &= u - c\psi - zw_{,r}, & -c - h_2 \leq z \leq -c, \end{aligned} \quad (1)$$

где  $z$  – координата рассматриваемого волокна, запятая в нижнем индексе обозначает операцию дифференцирования по следующей за ней координате.

Деформации в слоях следуют из (1) и соотношений Коши, напряжения – из термодинамических соотношений закона Гука:

$$\begin{aligned} s_\alpha^{(k)} &= 2G_k(T_k)\varepsilon_\alpha^{(k)}, & \sigma^{(k)} &= 3K_k(T_k)(\varepsilon^{(k)} - \alpha_{0k}T_k) \quad (k = 1, 2, 3), \\ s_{rz}^{(3)} &= 2G_k(T_k)\varepsilon_{rz}^{(3)} \quad (\alpha = r, \varphi), \end{aligned}$$

где  $s_\alpha^{(k)}$ ,  $\varepsilon_\alpha^{(k)}$  – девиаторные,  $\sigma^{(k)}$ ,  $\varepsilon^{(k)}$  – шаровые части тензоров напряжений и деформаций;  $G_k(T_k)$ ,  $K_k(T_k)$  – модули сдвига и объемного деформирования;  $T_k$  – температура в  $k$ -ом слое, отсчитываемая от некоторого начального значения  $T_0$ ;  $\alpha_{0k}$  – коэффициент линейного температурного расширения материала  $k$ -го слоя.

Для описания зависимости модулей упругости  $G(T)$ ,  $K(T)$  материалов слоев от температуры применялась универсальная линейная формула Белла [2]:

$$\begin{aligned} \{G(T), K(T), E(T)\} &= \{G(0), K(0), E(0)\} \varphi(T), \\ \varphi(T) &= \begin{cases} 1, & 0 < T/T_m \leq 0,06, \\ 1,03(1 - T/(2T_m)), & 0,06 < T/T_m \leq 0,57, \end{cases} \end{aligned} \quad (2)$$

где  $T_m$  – температура плавления материала;  $G(0)$ ,  $K(0)$ ,  $E(0)$  – значения модулей при, так называемом, нулевом напряжении, которые определяются из эксперимента, например, зная  $G_0$  при некоторой начальной температуре  $T_0$  получим, что  $G(0) = G_0 / \varphi(T_0)$ .

Уравнения движения рассматриваемой пластины получены вариационным методом в [2]. Соответствующая система дифференциальных уравнений вынужденных колебаний будет

$$\begin{aligned} L_2(a_1u + a_2\psi - a_3w_{,r}) &= -p, \\ L_2(a_2u + a_4\psi - a_5w_{,r}) - 2cG_3\psi &= 0, \\ L_3(a_3u + a_5\psi - a_6w_{,r}) - M_0\ddot{w} &= -q. \end{aligned} \quad (3)$$

Здесь  $L_2$ ,  $L_3$  – линейные дифференциальные операторы

$$\begin{aligned} L_2(g) &\equiv \left( \frac{1}{r}(rg)_{,r} \right)_{,r} \equiv g_{,rr} + \frac{g_{,r}}{r} - \frac{g}{r^2}, \\ L_3(g) &\equiv \frac{1}{r}(rL_2(g))_{,r} \equiv g_{,rrr} + \frac{2g_{,rr}}{r} - \frac{g_{,r}}{r^2} + \frac{g}{r^3}; \end{aligned}$$

Коэффициенты

$$\begin{aligned}
 a_1 &= \sum_{k=1}^3 h_k K_k^+, \quad a_2 = c(h_1 K_1^+ - h_2 K_2^+), \\
 a_3 &= h_1 \left( c + \frac{1}{2} h_1 \right) K_1^+ - h_2 \left( c + \frac{1}{2} h_2 \right) K_2^+, \quad a_4 = c^2 \left( h_1 K_1^+ + h_2 K_2^+ + \frac{2}{3} c K_3^+ \right), \\
 a_5 &= c \left[ h_1 \left( c + \frac{1}{2} h_1 \right) K_1^+ + h_2 \left( c + \frac{1}{2} h_2 \right) K_2^+ + \frac{2}{3} c^2 K_3^+ \right], \\
 a_6 &= h_1 \left( c^2 + c h_1 + \frac{1}{3} h_1^2 \right) K_1^+ + h_2 \left( c^2 + c h_2 + \frac{1}{3} h_2^2 \right) K_2^+ + \frac{2}{3} c^3 K_3^+, \\
 K_k^+ &= K_k(T_{0k}) + \frac{4}{3} G_k(T_{0k}), \quad K_k^- = K_k(T_{0k}) - \frac{2}{3} G_k(T_{0k}),
 \end{aligned} \tag{4}$$

$M_0 \ddot{w}$  – поперечные инерционные силы,  $M_0 = (\rho_1 h_1 + \rho_2 h_2 + \rho_3 h_3) r_0^2$ ,  $\rho_k$  – плотность материала слоя;  $T_{0k}(t)$  – величина усредненной температуры в  $k$ -ом слое в момент времени  $t$ .

Начальные условия принимаются однородными. В качестве граничных принимаются кинематические условия заделки контура пластины:

$$(u = \psi = w = w_{,r} = 0 \quad \text{при } r = 1). \tag{5}$$

**2. Собственные колебания пластины.** Соответствующая система дифференциальных уравнений движения следует из (3), если положить нагрузки в правых частях уравнений равными нулю. После некоторых преобразований она приводится к виду

$$\begin{aligned}
 u &= b_1 w_{,r} + C_1 r + \frac{C_2}{r}, \quad \psi = b_2 w_{,r} + C_3 r + \frac{C_4}{r}, \\
 L_3(w_{,r}) + M^4 \ddot{w} &= 0,
 \end{aligned} \tag{6}$$

где коэффициенты

$$\begin{aligned}
 b_1 &= \frac{a_3 a_4 - a_2 a_5}{a_1 a_4 - a_2^2}, \quad b_2 = \frac{a_1 a_5 - a_2 a_3}{a_1 a_4 - a_2^2}, \\
 M^4 &= M_0 D, \quad D = \frac{a_1 (a_1 a_4 - a_2^2)}{(a_1 a_6 - a_3^2)(a_1 a_4 - a_2^2) - (a_1 a_5 - a_2 a_3)^2}.
 \end{aligned}$$

Термозависимые коэффициенты  $a_i$  определяются соотношениями (4).

В связи с ограниченностью искомого решения в начале координат для сплошных пластин необходимо в (6) положить  $C_2 = C_4 = 0$ .

Искомый прогиб принимается в виде

$$w(r, t) = v(r)(A \cos(\omega t) + B \sin(\omega t)), \tag{7}$$

где  $v(r)$  – неизвестная координатная функция,  $\omega$  – частота собственных колебаний рассматриваемой пластины,  $A$  и  $B$  – константы интегрирования, определяемые из начальных условий.

После подстановки выражения (7) в последнее уравнение системы (6) получим уравнение для определения координатной функции  $v(r)$ :

$$L_3(v_{,r}) - \beta^4 v = 0, \tag{8}$$

или, с учетом оператора (4), в развернутом виде

$$v_{,rrrr} + \frac{2}{r} v_{,rrr} - \frac{1}{r^2} v_{,rr} + \frac{1}{r^3} v_{,r} - \beta^4 v = 0.$$

Здесь введено обозначение для собственного числа уравнения (8):

$$\beta^4 = M^4 \omega^2. \tag{9}$$

Решение уравнения (8) известно:

$$v(\beta r) = C_5 J_0(\beta r) + C_6 I_0(\beta r) + C_7 Y_0(\beta r) + C_8 K_0(\beta r). \tag{10}$$

где  $J_0$ ,  $Y_0$  – функции Бесселя нулевого порядка (нижний индекс) первого и второго рода соответственно;  $I_0$ ,  $K_0$  – модифицированная функция Бесселя и функция Макдональда нулевых порядков;  $C_5, \dots, C_8$  – константы интегрирования.

Не останавливаясь на описании указанных функций Бесселя, отметим, что  $Y_0(\beta r)$  и  $K_0(\beta r)$  имеют особенность типа логарифма в начале координат, т. е. в центре пластины. Поэтому необходимо в (10) положить постоянные интегрирования  $C_7 = C_8 = 0$ . Заметим также, что для пластин с отверстием эти константы определяются из граничных условий на внутреннем контуре. В результате, решение системы (6) принимает вид

$$\begin{aligned} u &= b_1 w_{,r} + C_1 r, & \psi &= b_2 w_{,r} + C_3 r, \\ w(\beta r) &= v(r)(A \cos(\omega t) + B \sin(\omega t)), \\ v(\beta r) &= C_5 J_0(\beta r) + C_6 I_0(\beta r) w(r, t). \end{aligned} \quad (11)$$

Если контур пластины заземлен, то на нем должны выполняться условия (5). Подставив в два последних из них решение (11), получим однородную систему алгебраических уравнений для определения констант интегрирования  $C_5, C_6$ :

$$\begin{aligned} C_5 J_0(\beta r_1) + C_6 I_0(\beta r_1) &= 0, \\ -C_5 J_1(\beta r_1) + C_6 I_1(\beta r_1) &= 0, \end{aligned}$$

где  $J_1, I_1$  – функции Бесселя первого порядка.

Эта система однородная, поэтому имеет нетривиальное решение при условии равенства нулю ее детерминанта. Следовательно,

$$I_1(\beta r_1) J_0(\beta r_1) + J_1(\beta r_1) I_0(\beta r_1) = 0. \quad (12)$$

Трансцендентное уравнение (12) служит для определения собственных чисел  $\beta_n$  ( $n = 0, 1, 2, \dots$ ) дифференциального уравнения (8). После вычисления  $\beta_n$  частоты собственных колебаний следуют из соотношения (9):

$$\omega_n^2 = \frac{\beta_n^4}{M^4} = \frac{\beta_n^4}{M_0 D}. \quad (13)$$

Следует отметить, что частоты  $\omega_n$  зависят от температуры через коэффициент  $M^4$ , введенный в (6).

В таблице 1 приведены собственные числа для трехслойной пластины единичного радиуса ( $r_0 = 1$ ), материалы слоев которой Д16-Т–фторопласт-4–Д16-Т. Толщины слоев принимались следующие:  $h_1 = h_2 = 0,02, h_3 = 0,1$ .

Таблица 1 – Собственные числа при заделанном контуре пластины

Номер $n$	Собственное число $\lambda_n$	Номер $n$	Собственное число $\lambda_n$
0	3,196	8	28,279
1	6,306	9	31,420
2	9,439	10	34,561
3	12,577	11	37,702
4	15,716	12	40,844
5	18,857	13	43,985
6	21,997	14	47,126
7	25,138		

Таблица 2 содержит собственные числа пластины, материалы слоев которой кордиерит–фторопласт-4–Д16-Т, при толщинах  $h_3 = 10h_2 = 20h_1 = 0,05$ . Механические характеристики, использованных материалов, приведены в [2].

Таблица 2 – Собственные числа для пакета кордиерит–фторопласт–Д16Т

Номер $n$	Собственное число $\beta_n$	Номер $n$	Собственное число $\beta_n$
0	3,193	10	34,531
1	6,301	11	37,679
2	9,431	12	40,808
3	12,566	13	43,947
4	15,702	14	47,086
5	18,840	15	50,224
6	21,977	16	53,363
7	25,116	17	56,502
8	28,254	18	59,641
9	31,392	19	62,780

**3. Численные результаты** показывают зависимость собственных частот (13) от температуры круговой трехслойной пластины, защемленной по контуру: 1 –  $\omega_0$ ; 2 –  $\omega_1$ ; 3 –  $\omega_0$ ; 4 –  $\omega_1$ . Предполагалось, что вся пластина прогревается равномерно до рассматриваемой температуры. Коэффициенты  $a_i$  рассчитывались по формулам (4). Зависимость от температуры учитывалась формулой Белла (2).

На рисунке 2 приведены графики, иллюстрирующие зависимость собственных частот от температуры для пластины, выполненной из материалов Д16-Т–фторопласт-4–Д16-Т. Толщины слоев:  $h_1 = h_2 = 0,02$ ,  $h_3 = 0,1$ . Рисунок 3 содержит аналогичные графики для пластины, со слоями кордиерит–фторопласт-4–Д16-Т,  $h_3 = 10h_2 = 20h_1 = 0,05$ .

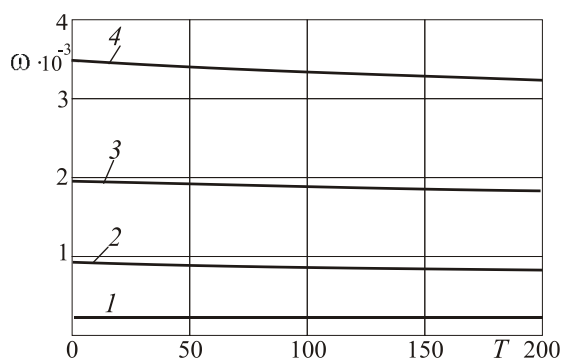


Рис. 2. Пластина Д16-Т–фторопласт-4–Д16-Т

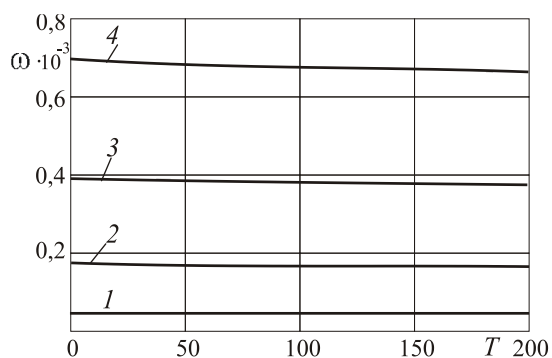


Рис. 3. Пластина кордиерит–фторопласт-4–Д16-Т

**Выводы.** При замене верхнего несущего слоя на кордиерит, пластина становится более жесткой и частоты собственных колебаний растут. При нагревании на  $100^\circ$  частоты уменьшаются на 3,6 %, при нагревании на  $200^\circ$  – на 7 % за счет изменения модулей упругости материалов слоев.

*Работа выполнена при финансовой поддержке БР ФФИ (проект T20P-047).*

## ЛИТЕРАТУРА

1. Головки, К. Г. Динамика неоднородных оболочек при нестационарных нагрузках / К. Г. Головки, П. З. Луговой, В. Ф. Мейш. – Киев: Киевский ун-т, 2012. – 541 с.
2. Журавков, М. А. Механика сплошных сред. Теория упругости и пластичности / М. А. Журавков, Э. И. Старовойтов – Минск: БГУ, 2011. – 540 с.
3. Старовойтов, Э. И. Трехслойные стержни в терморadiационных полях / Э. И. Старовойтов, М. А. Журавков, Д. В. Леоненко. – Минск: Бел. наука, 2017. – 275 с.

4. Горшков, А. Г. Гармонические колебания трехслойной цилиндрической вязкоупругопластической оболочки / А. Г. Горшков, Э. И. Старовойтов, А. В. Яровая // Прикладная механика. – 2001. – № 9. – С. 100–107.
5. Mikhailova, E. Yu. Nonstationary Axisymmetric Problem of the Impact of a Spherical Shell on an Elastic Half-Space (Initial Stage of Interaction) / G. V. Fedotenkov, E. Yu. Mikhailova // Mechanics of Solids. – 2011. – Vol. 46, № 2, P. 239–247.
6. Fedotenkov, G. V. Analytic investigation of features of stresses in plane nonstationary contact problems with moving boundaries / G. V. Fedotenkov, D. V. Tarlakovskiy // Journal of Mathematical Sciences. – 2009. – Vol. 162, No. 2. – P. 246–253.
7. Tarlakovskiy, D. V. Two-Dimensional Nonstationary Contact of Elastic Cylindrical or Spherical Shells / D. V. Tarlakovskiy, G. V. Fedotenkov // Journal of Machinery Manufacture and Reliability. – 2014. – Vol. 43, No. 2. – P. 145–152.
8. Старовойтов, Э. И. Колебания круговых композитных пластин на упругом основании под действием локальных нагрузок / Э. И. Старовойтов, Д. В. Леоненко // Механика композитных материалов. – 2016. – Т. 52, № 5. – С. 943–954.
9. Starovoitov, E. I. Resonance vibrations of a circular composite plates on an elastic foundation / E. I. Starovoitov, D. V. Leonenko, D. V. Tarlakovsky // Mechanics of Composite Materials. – 2015. – Vol. 51, No 5. – P. 561–570.
10. Ivañez, I. The oblique impact response of composite sandwich plates / I. Ivañez [et al.] // Composite Structures. – 2015. – No. 133. – P. 1127–1136.
11. Paimushin, V. N. Static and monoharmonic acoustic impact on a laminated plate / V. N. Paimushin, R. K. Gazizullin // Mechanics of Composite Materials. – 2017. – Vol. 53, No. 3. – P. 407–436.
12. Москвитин, В. В. Деформация и переменные нагружения двухслойных металлополимерных пластин / В. В. Москвитин, Э. И. Старовойтов // Механика композитных материалов. – 1985. – № 3. – С. 267–273.
13. Старовойтов, Э. И. Деформирование упругого трехслойного стержня локальными нагрузками / Э. И. Старовойтов, А. В. Яровая, Д. В. Леоненко // Проблемы машиностроения и автоматизации. – 2001. – № 4. – С. 37–40.
14. Захарчук, Ю. В. Деформирование круговой трехслойной пластины с легким сжимаемым наполнителем / Ю. В. Захарчук // Теоретическая и прикладная механика. – 2018. – № 33. – С. 363–369.
15. Козел, А. Г. Деформирование круговой трехслойной пластины, защемленной по контуру, на основании Пастернака / А. Г. Козел // Теоретическая и прикладная механика. – 2018. – № 33. – С. 318–323.
16. Старовойтов, Э. И. Деформирование трехслойной круговой цилиндрической оболочки в температурном поле / Э. И. Старовойтов, Д. В. Леоненко, Д. В. Тарлаковский // Проблемы машиностроения и автоматизации. – 2016. – № 1. – С. 91–97.
17. Старовойтов, Э. И. Термосиловое нагружение трехслойных пологих оболочек / Э. И. Старовойтов // Изв. АН СССР. Механика твердого тела. – 1989. – № 5. – С. 114–119.
18. Нестерович, А. В. Неосесимметричное термосиловое деформирование круговой трехслойной пластины / А. В. Нестерович // Проблемы физики, математики и техники. – 2016. – № 2 (27). – С. 54–60.

*Поступила: 31.01.2021*